

**Relative Humidity Zoning of Sistan-Baluchestan Province Using MODIS Satellite Images****MASIHOLAH MOHAMMADI<sup>1</sup>, BEHROOZ SOBHANI<sup>1\*</sup>**

1. Department of Climatology, Faculty of Humanities, University of Mohaghegh Ardabili, Ardabil, Iran.

(Received: May. 10, 2020- Revised: July. 23, 2020- Accepted: July. 29, 2020)

**ABSTRACT**

The purpose of this research is to present a method based on global and experimental algorithms for estimating relative humidity in Sistan and Baluchestan province. For this purpose, Terra MODIS images and products (MOD05, MOD07) of 10-years (1-Jan-2009 to 31-Des-2018) under cloudless conditions were used as selected data. To validate the obtained layers (near ground surface temperature, ground surface pressure, total perceptible water, TPW, and relative humidity), the ground station and the radio sound data were used. The R2 and REMS values of the recorded layers from the sensor and the ground data were acceptable and the sensed data were in good agreement with ground station measurements. Results show that the altitude factor play an important role in temperature measurement. The minimum amount of TPW has been recorded to be 6 mm in the Khash, Mir Java and Saravan regions in the cold season and the maximum amount of TPW has been recorded to be 49 mm in the coastal areas in the warm season. The average relative humidity in the province is in equilibrium in the cold season, while it is out of equilibrium in the hot season, so that it is above 60% on the coast of Oman and less than 10% in the central province (Khash, Mir Java and Zahedan).

**Keywords:** Experimental Algorithm, MODIS Measurement, Relative Humidity, Sistan-Baluchestan, Zoning.

## پهنه‌بندی رطوبت نسبی استان سیستان و بلوچستان با استفاده از تصاویر سنجنده MODIS

مسیح‌اله محمدی<sup>۱</sup>، بهروز سبحانی<sup>\*۱</sup>

۱. گروه آب و هواشناسی، دانشکده علوم انسانی، دانشگاه حقوق اردبیلی، اردبیل، ایران.

(تاریخ دریافت: ۱۳۹۹/۵/۲ - تاریخ بازنگری: ۱۳۹۹/۵/۲ - تاریخ تصویب: ۱۳۹۹/۵/۸)

### چکیده

هدف این پژوهش ارائه روشی بر مبنای الگوریتم‌های جهانی و تجربی جهت برآورد رطوبت نسبی در استان سیستان و بلوچستان است. بدین منظور از تصاویر ترا مودیس و از محصولات (MOD05، MOD07) مربوط به بازده زمانی ۱۰ ساله (۱۳۹۹-۲۰۰۹) در شرایط بدون ابر به عنوان داده‌های منتخب استفاده شد. برای اعتبار سنجی لایه‌های بهدست‌آمده (دمای نزدیک سطح زمین، فشار سطح زمین، آب قابل بارش TPW و رطوبت نسبی)، داده‌های ایستگاه زمینی و رادیوساند مورد استفاده قرار گرفت. مقدار  $R^2$  و REMS لایه‌های ثبت‌شده از سنجنده و داده‌های زمینی قابل قبول بودند و داده‌های سنجنده هم‌خواص مناسبی با اندازه‌گیری‌های ایستگاه‌های زمینی داشتند. نتایج بهدست‌آمده حاکی از این هستند که عامل ارتفاع نقش تعیین‌کننده‌ای در فرا سنج دما دارد. حداقل مقدار آب قابل بارش، ۶ میلی‌متر در مناطق خاش، میر جاوه و سراوان در فصل سرد سال و حداکثر آن با ۴۹ میلی‌متر در مناطق ساحلی در فصل گرم سال ثبت‌شده است. میزان متوسط رطوبت نسبی در فصل سرد سال در کل استان در حالت تعادل قرار دارد ولی در فصل گرم سال از حالت تعادل خارج می‌شود که در سواحل دریای عمان بالای ۶۰ درصد و در مرکز استان (خاش، میر جاوه و زاهدان) کمتر از ۱۰ درصد است.

**واژه‌های کلیدی:** پهنه‌بندی، رطوبت نسبی، سیستان و بلوچستان، الگوریتم تجربی، سنجنده MODIS

### مقدمه

گردید. دومین سنجنده MODIS که بر روی ماهواره Aqua نصب گردید در تاریخ ۴ مه سال ۲۰۰۲ به فضا فرستاده شد. سنجنده MODIS دارای رزولوشن زمانی مناسب است و در طول روز ۴ تصویر از هر نقطه زمین تهیه می‌کند، تصویر از هر نقطه زمین تعداد باندهای مناسب برای نظارت و پایش رطوبت و دما در مناطق مختلف جهان در محدوده باندهای طیفی حدود ۰/۵۰۴ و ۱۴/۳۸۵  $\mu\text{m}$  و باقدرت تفکیک مکانی ۱ کیلومتر است (King et al., 1992). در سال‌های اخیر مطالعات در زمینه تعیین رطوبت با استفاده از تصاویر MODIS توسط پژوهشگران مختلفی از جمله: مریخ پور و رحیم زادگان برای ارزیابی و مقایسه کار آبی الگوریتم بخار آب قابل بارش جو MODIS و AMSR2 در سطح خشکی در نیمه غربی ایران، الگوریتم برآورد TPW در محدوده امواج ماکروویو با به کار گیری داده‌های رادیو متر اسکن‌کننده پیشرفته AMSR2 در روزهای ابری و فاقد ابر و محصول TPW مادون قرمز نزدیک اسپکترورادیومتر تصویربردار باقدرت تفکیک متوسط MODIS با نام (MOD05) تنها در روزهای فاقد ابر مورد ارزیابی قرار گرفته‌اند؛ زیرا این محصول در روزهای ابری کار آبی ندارد. نتایج ارزیابی با استفاده از داده‌های رادیوساند در روزهای

رطوبت یکی از مهم‌ترین عنصر آب‌وهوایی ایران به شمار می‌رود. برای اینکه میزان بارندگی و درنتیجه وضعیت حیات را در کشور کنترل می‌کند (Alijani., 2008). در جو همیشه مقداری آب به صورت بخار، قطرات ریز آب و بلورهای کوچک یخ وجود دارد. منشأاً اصلی بخار آب در طبیعت، تبخیر آب در دریاها و اقیانوس‌ها است؛ اما از طریق تبخیر از سایر سطوح آزاد آب و سطح خاک‌های مرطوب و همچنین تعریق گیاهان نیز، مقدار بخار آب در هوا آزاد می‌شود. مقدار بخار آب در هوا ناچیز است و هرگز از ۴ درصد وزن آن تجاوز نمی‌کند (Mousavi Baigi and Ashraf., 2011) توزیع بخار آب شدیداً تابع زمان، مکان و ارتفاع است. به همین دلیل می‌باشد تغییرات آن از نظر زمانی و مکانی باقدرت تفکیک بالا مورد پایش قرار گیرد (Nilsson and Gradinarsky., 2006) پایش پیوسته تغییرات پارامترها در مقیاس جهانی با استفاده از امکانات موجود در سال‌های دور مشکل بود. تصویربرداری یا دقت تفکیک متوسط (MODIS) فرصت جدیدی را برای بهبود پایش جهانی دما، رطوبت و ازن و تغییرات آن‌ها ارائه نمود (King et al., 1992). این سنجنده که برای اولین بار برابر روى ماهواره Terra نصب شده است در دسامبر سال ۱۹۹۹ به وسیله ناسا به فضا پرتاب

۲۰۰۷ صورت گرفته است. مقدار ضریب تعیین  $R^2$  و خطای RMSE در روزهای فاقد ابر به ترتیب ۰/۹۲ و ۴/۱۹ میلی‌متر و در روزهای ابری ۰/۹۱ و ۴/۴۱ میلی‌متر محاسبه شده است (Ji and Shi., 2014). ژئو بر اساس دماهای درخشندگی در ۵ باند ۱۰/۱۰، ۱۸/۷، ۲۲/۸، ۲۳/۸، ۱۸/۷ و ۸۹/۳۶/۵ گیگاهرتز در قطبیدگی‌های افقی و قائم حاصل از سنجنده چینی F-Y-3B الگوریتمی را توسعه دادند که مقادیر بخارآب قابل بارش در سطح زمین را برآورد می‌کند. نتایج نشان‌دهنده آن است که در ژانگی چین و در روزهای بدون ابر مقدار ۴/۳۹ RMSE میلی‌متر و خطای BIAS ۰/۳۶ میلی‌متر محاسبه شده و در روزهای ابری مقدار ۴/۸۴ RMSE و خطای BIAS ۰/۵۲ میلی‌متر به دست آمده و در مناطق دلانزدگید BIAS مغولستان و سنگاپور و در روزهای فاقد ابر مقادیر RMSE و MODIS در برآورد بخارآب قابل بارش به ترتیب ۴/۷۳ و ۰/۸۴ میلی‌متر محاسبه شده است (Zhou., 2016). هدف از این مطالعه، ارائه MODIS بر روی سکوی Terra بر مبنای محصولات MOD05 و MOD07 در استان سیستان و بلوچستان در روزهای فاقد ابر است. محصول MOD05 شامل مقادیر بخارآب قابل بارش حاصل از سنجنده MODIS در محدوده امواج مادون‌قرمز نزدیک و محصول MOD07 شامل مقادیر بخارآب، دما و فشار سطح زمین در محدوده امواج مادون‌قرمز در سراسر دنیا است. آموزش و ارزیابی دقت این الگوریتم، توسط TPW اندازه‌گیری شده در ایستگاه رادیوساند زاهدان و ایستگاه‌های سینوپتیک در جنوب شرق ایران در لحظه گذر ماهواره Terra انجام شده است.

## مواد و روش‌ها

### منطقه موردمطالعه و داده‌های مورد استفاده

استان سیستان و بلوچستان با وسعت ۱۸۷۵۰ کیلومترمربع معادل ۱۱/۵ درصد مساحت کشور را به خود اختصاص داده است. این استان بین ۲۵ درجه و ۳ دقیقه تا ۳۱ درجه و ۲۸ دقیقه عرض شمالی و ۵۸ درجه و ۴۹ دقیقه تا ۶۳ درجه و ۲۰ دقیقه طول شرقی واقع شده است و از شمال به استان خراسان جنوبی، از جنوب به دریای عمان، از شرق به کشورهای افغانستان و پاکستان و از غرب به استان‌های کرمان و هرمزگان محدود شده است. کوههای سیستان و بلوچستان جزء رشته‌کوههای مرکزی ایران است، بلندترین نقطه‌ی آن در کوه نفتان دارای ۴۰۴۲ متر ارتفاع و پست‌ترین منطقه آن در کناره‌های دریای عمان قرار گرفته و شامل ناهمواری‌های مشرق چاله لوت و ارتفاعات دیواره شرقی چاله جازموریان است. آب‌وهوای استان از نوع آب‌وهوای بیابانی است. حداقل دمای سالانه آن بالای ۴۰ درجه سانتی‌گراد است.

فاقد ابر نشان‌دهنده دقت بالاتر محصول MODIS نسبت به الگوریتم AMSR2 بود، طوری که ضریب تعیین ( $R^2$ ) در TPW حاصل از سنجنده AMSR2 و محصول MODIS به ترتیب ۰/۵۱۶ و ۰/۶۵۰ و مقدار جذر میانگین مربعات خطأ (RMSE) به ترتیب (Merrikhpour and Rahimzadegan., 2019) ۴/۵۴۲ و ۴/۵۱۲۹ میلی‌متر بود (Srasler ایران با استفاده از شیدسنچ خورشیدی بیات و مشهدی زاده ملکی از داده‌های شیدسنچ در بازه زمانی دسامبر ۲۰۰۹ تا دسامبر ۲۰۱۳) و داده‌های سنجنده AIRS و ۲۹ ایستگاه سینوپتیک از سپتامبر ۲۰۰۲ تا ۲۰۱۵ برای برآورد مقدار TPW استفاده کردند. در این پژوهش برای اعتبار سنجی داده‌های سنجنده AIRS از اندازه‌گیری شیدسنچ خورشیدی استفاده شده است که همبستگی بین آن‌ها ۹۰ درصد بوده است. میانگین TPW اندازه‌گیری شده با شیدسنچ AIRS و سنجنده AIRS به ترتیب برابر با ۹/۸ و ۱۰/۸ میلی‌متر است. بیشترین مقدار TPW در سواحل دریای عمان، خلیج فارس و دریای خزر و کمترین مقدار در داخل ایران و در بالای رشته‌کوههای زاگرس است (Bayat and Mashhadizadeh Maleki., 2019). برای اعتبار سنجی اندازه‌گیری‌های بخارآب قابل سنجنده AIRS پراسا با استفاده از اندازه‌گیری‌های بخارآب قابل بارش توسط شبکه جی‌پی‌اس و شبکه Aeronet را اعتبار سنجی کردند و به ترتیب ۰/۹۱ و ۰/۹۵ ضریب همبستگی بین اندازه‌گیری‌های جی‌پی‌اس و شید خورشیدی به دست آورده‌اند؛ بنابراین ماهواره AIRS ابزار مناسب و دقیقی برای مطالعه بخارآب در یک منطقه دانست (Prasa et al., 2009). مغربی و الدجانی با استفاده از فشار بخار و دمای هوا مقادیر بخارآب قابل بارش را در منطقه ریاض پایتخت عربستان برآورد کردند. بر اساس ارزیابی که در بازه زمانی ۱۹۸۵-۲۰۰۷ در برابر مقادیر بخارآب قابل بارش ایستگاه‌های رادیوساند در آن منطقه انجام دادند مقدار ضریب تعیین  $R^2$  ۰/۸۱ و خطای RMSE ۲/۸ میلی‌متر محاسبه شد. در ارزیابی دیگر در بازه زمانی ۲۰۰۸ تا ۲۰۱۲ دو دسته داده به دست آمده از رادیوساند و سان فوتومترها مورد بررسی قرار گرفته‌اند و مقدار خطای RMSE برای این دو دسته داده به ترتیب ۳/۲۱ و ۲/۵ میلی‌متر به دست آمد (Maghrabi and Al Dajani., 2013). برای توسعه الگوریتم بخار آب جی و شی با استفاده از نسبت اختلاف دمای درخشندگی در قطبیدگی‌های افقی و قائم باندهای ۱۸/۷ و ۲۳/۸ گیگاهرتز سنجنده (AMSR-E)، محصولات دمای سطح و بخارآب قابل بارش سنجنده MODIS در روزهای فاقد ابر، الگوریتمی در برآورد بخارآب قابل بارش در کشور آمریکا توسعه دادند و آن را به روزهای ابری نیز تعمیم دادند. ارزیابی با مقادیر حاصل از ایستگاه‌های زمینی GPS در ماههای ژانویه و جولای

الگوریتم استخراج بخارآب قابل بارش از سنجنده MODIS در محدوده باند مادون قرمز نزدیک مقدار بخارآب جو، بر اساس مقایسه بین انرژی بازتابیده شده در سه باند جذبی ضعیف، متوسط و قوی بخارآب به مرکزیت‌های به ترتیب  $0.940 / 0.936 / 0.905$  میکرومتر و دو باند غیر جذبی بخارآب (روزنه جوی)  $0.865 / 0.824$  میکرومتر محاسبه می‌شود. کارآیی این الگوریتم در شرایط آسمان صاف و غیر ابری است (Merrikhpour and Rahimzadegan., 2019). دقت برآورد آب قابل بارش ماهواره‌ای در این الگوریتم بستگی به دقت محاسبه شفافیت جو ( $T_w$ ) با همان قابلیت عبور بخارآب دارد که به صورت زیر محاسبه می‌شود (Pour bagher et al., 2009).

قابلیت عبور جو در باند جذبی ضعیف بخارآب:  
(رابطه ۱)

$$T_w(950/865) = p_{0/89-0/92}^* / p_{0/845-0/885}^*$$

قابلیت عبور جو در باند جذبی متوسط بخارآب:  
(رابطه ۲)

$$T_w(940/865) = p_{0/915-0/965}^* / p_{0/845-0/885}^*$$

قابلیت عبور جو در باند جذبی قوی بخارآب:  
(رابطه ۳)

$T_w(936/865) = p_{0/93-0/94}^* / p_{0/845-0/885}^*$  که در آن  $p$  بازتابندگی ظاهری محاسبه شده در بالای جو برای هر باند،  $T_w$  قابلیت عبور یا شفافیت جوی برای بخارآب است. بازتابندگی ظاهری عبارت از نسبت بین رادیانس واقعی رو به بالا به رادیانس یک سطح کاملاً لامبرتی که میزان بازتابندگی آن جسم ۱۰۰ درصد است (Kaufman and Gao, 1992). Kaufman and Gao., 1992 بازتابندگی ظاهری را به صورت زیر ارائه می‌دهند (Gao., 1992):

$$P^*(\lambda) = \frac{L_{(Sansor)}(\lambda)}{L_{(Sun)}(\lambda)} \quad (\text{رابطه ۴})$$

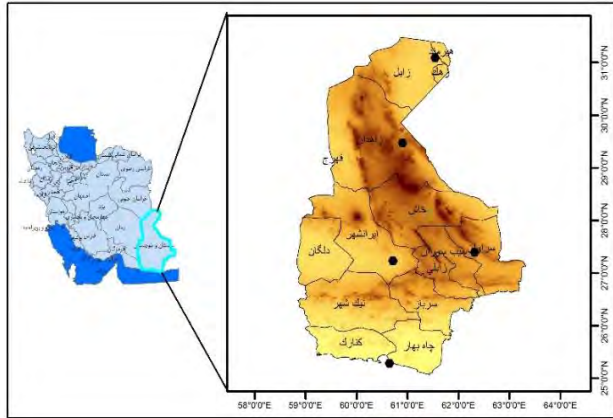
بنابراین نسبت رادیانس طیفی رسیده به سنجنده به رادیانس طیفی فروقی خورشیدی در بالای جو را بازتابندگی ظاهری گویند.

میزان رادیانس رسیده به سنجنده را می‌توان به صورت زیر نوشت:  
(رابطه ۵)

$$L_{(Sansor)}(\lambda) = L_{(sun)}(\lambda) \cdot T(\lambda) \cdot P(\lambda) + L_{(PAth)}(\lambda)$$

که در آن  $\lambda$  طول موج،  $L_{(Sansor)}(\lambda)$  رادیانس طیفی رسیده به سنجنده و  $L_{(Sun)}(\lambda)$  تابش طیفی خورشیدی در بالای جو است.  $P(\lambda)$  بازتابندگی دو راستایی سطح و  $L_{(Sun)}(\lambda)$  تابش پراکنده شده توسط هوایزها در مسیر اپتیکی سنسور-خورشید-زمین بوده، که میزان آن تقریباً  $10$  درصد( $\lambda$ )  $L_{(Sansor)}$  است.

Zahedan سردترین و ایرانشهر گرمترین شهرهای استان است. نوسانات رطوبت، وجود بادهای موسمی همچون بادهای معروف به (صدوبیست روزه) و باد هفتمن (گاو کش) و ریزش جوی و اختلاف دما در ۲۴ ساعت به استثنای نواحی معتدل سواحل دریای عمان، شرایط خاص اقلیمی، پوشش گیاهی، جانوری، مناظر بدیعی را به وجود آورده است. شکل (۱) موقعیت استان را نشان داده است.



شکل ۱- موقعیت جغرافیایی منطقه مورد مطالعه

## روش پژوهش

### داده‌های سنجنده MODIS

برای برآورد مقدار رطوبت نسبی در این پژوهش، نیاز به تصاویر داریم که پیکسل‌های آن خالی از ابر باشند، زیرا ابر بازتابش و جذب زیادی دارد و حضور آن‌ها عدم قطعیت فراوانی وارد محاسبات می‌کند. برای کسب اطمینان عدم حضور ابر در تصویر مورد استفاده، از تست ابر استفاده شده است، در این تست از محصولات سطح دو MODIS با عنوان MOD35 باقدرت تفکیک مکانی ۱ کیلومتر به منظور شناسایی پیکسل‌های فاقد ابر با احتمال بالاتر از ۹۵ درصد در محدوده زمانی و مکانی ذکر شده، استفاده شده است. از محصول MOD05 سنجنده MODIS در محدوده امواج مادون قرمز نزدیک باقدرت تفکیک مکانی ۱ کیلومتر جهت استخراج آب قابل بارش (TPW) و از محصول MOD07 سنجنده MODIS در محدوده امواج مادون قرمز باقدرت تفکیک مکانی ۵ کیلومتری جهت استخراج فشار سطح زمین و دمای هوای استفاده شده است. بازده زمانی انتخابی در این پژوهش روزانه با بازده ۱۰ ساله از ۱ ژانویه ۲۰۰۹ تا ۳۱ دسامبر ۲۰۱۸ بود. درمجموع از هر کدام یک از محصولات حدود ۳۶۵۰ تصویر از سایت ناسا (<https://ladsweb.modaps.eosdis.nasa.gov/>) دانلود شد که با انجام تست ابر حدود ۲۱۹۰ تصویر بدون ابر برای پردازش برای محصولات MOD05 و MOD07 شناسایی شد.

و ضر ب ثابتی که بستگی به نوع پوشش سطحی دارد.

#### الگوریتم استخراج دمای جو از سنجنده MODIS

الگوریتم کاربردی سنجنده MODIS برای استخراج توزیع دما، برای سکوی Tarra با نام MOD07 شناخته می‌شود. این الگوریتم با استفاده از تابش‌های آسمان صاف (آسمان بدون ابر) که در یک میدان دید  $5 \times 5$  (تقریباً قدرت تفکیک مکانی ۵ کیلومتر) بر روی خشکی یا اقیانوس برای هر دو حالت روز و شب، عمل می‌کند. الگوریتم (MOD07) با استفاده از آرشیوی داده‌های مرکز Seemann et al., (2006) کاربردی شده است (Goddard GDAAC).

الگوریتم استخراج پروفیل جوی MODIS، بر پایه‌یک رگرسیون خطی با در نظر گرفتن گزینه‌های برای استخراج فیزیکی غیرخطی پارامترهای مانند دما و رطوبت بنا نهاده شده است. روش استخراجی که این الگوریتم بر پایه آن قرار داده شده است، از ترکیب ۱۶ باند مادون‌قرمز استفاده می‌کند (Smith et al., 1991; Hayden, 1988; Li., 1994

برای تعیین پروفیل دما می‌توان رابطه زیر را در نظر گرفت:

$$L(F_j) = \sum_{i=1}^N P [F_j, T(P_i)] W(F_j, P_i) \quad (رابطه ۱۲)$$

$J = 1, 2, \dots, M$

در این معادله،  $W(F_j, P_i)$  یکتابع وزن دهی برای در نظر گرفتن شرکت هر لایه،  $F_j, T(P_i)$  چگالی شار پلانک در بسامد  $F_j$  و دمای  $T$  در لایه  $P_i$  است. درحالی که همبستگی فشار به ارتفاع حتمی فرض می‌شود. تابع وزن دهی، اثر گسیلمندی  $\epsilon$  و عبور دهی  $\tau$  بالای جو تا سطح  $i$  در باند  $j$  را ترکیب می‌نماید و می‌تواند توسط رابطه پایین نشان داده شود (Seemann et al., 2006):

$$W(F_j, P_i) = \epsilon(F_j, P_i) \tau(F_j, 0 \rightarrow P_i) \quad (رابطه ۱۳)$$

درواقع در رابطه (۱۳) هدف تعیین دما و رطوبت در  $N$  سطح جو توسط  $M$  مشاهده تابش است. هرچند به علت اینکه مشاهده تابش از یکدیگر مستقل نیستند، برای این رابطه راه حل منحصر به فردی وجود ندارد. یک راحل برای این مشکل توسط اسمیت و همکاران ارائه شد که در آن از اختلاف از یک پروفیل از قبل تعریف شده استفاده می‌گردد (Seemann et al., 2006).

$$L(F_i) - L_0(F_j) = \sum_{i=1}^N \{P [F_j, T(P_i)] - P [F_j, T_0(P_i)]\} W(F_j, P_i) + e(F_j) \quad (رابطه ۱۴)$$

$$e(F_j) = \text{خطای مشاهدات تابش است. با فرض} \quad (رابطه ۱۵)$$

.(Pourbagher., 2009)

#### استخراج دمای درخشندگی

دمای درخشندگی مقدار تابندگی اشعه الکترومغناطیسی است که از ناحیه بالای اتمسفر به سمت ماهواره در حال حرکت است و معادل دمای جسم سیاه تعریف می‌شوند (Mather., 1999). دمای درخشندگی با استفاده از رابطه پلانک به صورت زیر محاسبه می‌شود که در آن میزان بازتاب ثبت شده در یک پیکسل به صورت عدد رقومی به عامل دمای روشناهی تبدیل می‌شود.

$$BT = \frac{K_2}{\ln \frac{K_1}{LY} + 1} \quad (رابطه ۶)$$

که در آن  $BT$  دمای درخشندگی بر حسب کلوین،

$$K_1 = (-w - M^{-2} - \text{steradian}^{-1} - \mu^{-1}) \quad (رابطه ۷)$$

ضریب ثابت اول  $(3/741775 \times 10^{-22} W - M^3 - \mu^{-1})$ .

$$LY = 0.00143877 - m^0 K \quad (رابطه ۸)$$

ضریب ثابت دوم برای تصحیح مقادیر دمای درخشندگی اندازه‌گیری شده

توسط ماهواره از رابطه زیر استفاده می‌گردد.

$$\text{Reflectance} = \text{scale} * (\text{DN} - \text{Offset}) \quad (رابطه ۹)$$

#### محاسبه میزان شفافیت بخارآب

رابطه بین شفافیت بخارآب ( $T_w$ ) و بخارآب قابل بارش کلی (TPW) را می‌توان به صورت رابطه زیر نشان داد. علاوه بر این به خاطر اشباع بودن جذب بخارآب، ریشه دوم  $W$  یعنی  $\sqrt{W}$  به عنوان Kaufman and Gao, (1992).

$$T_w (940/865) = \exp(a - \beta \sqrt{W}) \quad (رابطه ۱۰)$$

$a$  و  $\beta$  ضریب ثابت منطقه‌ای هستند که بستگی به نوع

پوشش منطقه و نوع دید ماهواره دارد.

در مرحله بعد باید شفافیت بخارآب جو را که بیانگر میزان

بخارآب در مسیر اپتیکی سنسور-خورشید-زمین است به آب قابل

بارش کلی تبدیل کرد. برای این کار می‌توان از روابط زیر بهره

برد:

$$LhT_w = \alpha - \beta \sqrt{W} \quad (رابطه ۱۱)$$

و درنتیجه

$$W = \left( \frac{\alpha - LhT_w}{\beta} \right)^2 \quad (رابطه ۱۲)$$

با توجه به زوایای سمت الراس خورشید و ماهواره می‌توان

مقدار  $W$  را در مسیر اپتیکی سنسور-خورشید-زمین ماهواره

تعییر کرد:

$$W^* = \left( \frac{\alpha - LhT_w}{\beta} \right)^2 \times \left( \frac{1}{\cos \theta_0} + \frac{1}{\cos \theta} \right) \quad (رابطه ۱۳)$$

که در آن  $\theta$  زاویه سمت الراس ماهواره،  $\theta_0$  زاویه سمت

الراس خورشید است و  $W^*$  همان TPW یا آب قابل بارش کلی در

مسیر اپتیکی سنسور-خورشید-زمین بر حسب سانتی‌متر است. [www.SID.ir](http://www.SID.ir)

چگالی p، فشار P و دمای هوا T به صورت رابطه زیر است.

$$P = p \frac{R}{M} T \quad (رابطه ۲۰)$$

که در رابطه (۱۷) ثابت جهانی گازها و M جرم مولکولی هوا است. از آنجایی که بخار آب تنها گاز موجود در جو است که میزان قابل ملاحظه‌ای از نظر حجم تغییر می‌کند، جرم مولکولی هوا ثابت نخواهد بود. برای حل این مشکل در رابطه (۱۸) به جایی دما واقعی هوا از دمای مجازی استفاده می‌کنند (Bani Hashem et al., 1998). دمای مجازی را می‌توان در قالب دمای هوای خشک تعریف کرد که فشار و چگالی کل آن برابر با فشار و چگالی هوای مرطوب بوده که آب دما هوای واقعی به صورت زیر در رابطه است (Bani Hashem et al., 1998).

$$T^* = \frac{T}{1 - \frac{3}{5}q} \quad (رابطه ۲۱)$$

در رابطه بالا q رطوبت ویژه است که با استفاده از پروفایل رطوبت به دست می‌آید. با در نظر گرفتن فرض هیدرو استاتیک و قرار دادن آن در رابطه (۲۱)، معادله فرض هیدرو استاتیک به صورت معادله دیفرانسیل زیر در می‌آید.

$$\frac{dp}{p} = \frac{Mgdz}{RT} \quad (رابطه ۲۲)$$

با حل معادله دیفرانسیل (۲۲) و فرض معلوم بودن فشار سطح زمین ( $P_0$ )، پروفیل دما و رطوبت ویژه، معادله فشار به صورت رابطه (۲۳) در می‌آید

$$P = p_0 e^{-\frac{Mg}{R} \int_{z, T^*}^{zdz}} \quad (رابطه ۲۳)$$

معادله (۲۳) معادله فشار هیدرو استاتیک است. در معادله فشار هیدرو استاتیک، M جرم مولکولی هوای خشک و g شتاب گرانش منطقه است که با تبدیل ارتفاع هندسی به ارتفاع ژئوپتانسیل شتاب گرانش تبدیل به شتاب گرانش استاندارد در سطح متوسط دریا ( $g_0 = 9.80665 \text{ m/s}^2$ ) می‌گردد (Hashem et al., 1998) با توجه به اینکه نزدیک ۹۸ درصد گازهای موجود در جو گازهای ازت و اکسیژن است، تغییرات جرم مولکولی هوای خشک کوچک است. درنتیجه مقدار تغییرات جرم مولکولی هوای در محدوده خطاهای کار این پژوهش قرار گرفته و در این پژوهش جرم مولکولی هوای ثابت و برابر با  $28/9$  گرم بر مول در نظر گرفته شد. پروفیل دمای مجازی با استفاده از پروفایل دما و رطوبت توسط رابطه (۱۸) به دست می‌آید. در این پژوهش برای محاسبه عددی انتگرالی موجود در رابطه (۲۲) از روش ذوزنقه‌ای استفاده گردید که معادله عددی فشار به صورت رابطه زیر است.

$$P = p_0 e^{-\frac{Mg}{2R} \sum (\frac{1}{T_j} + \frac{1}{T_{j+1}}) \Delta h_j} \quad (رابطه ۲۴)$$

که با داشتن پروفایل دما و رطوبت و با حل عددی رابطه (۲۴) هر ارتفاعی می‌توان فشار هوا را بدست آورد.

معادله فوق در فرم ماتریس به شکل زیر است:

$$T = AR \quad (رابطه ۱۶)$$

که در آن A اپراتور خطی است که اثرات تابع وزن دهی و همچنین عبور دهی جوی را برای باندهای طیفی استفاده شده در بردارد. در واقع ماتریس A ماتریسی است که تابش R را به دمای جوی تبدیل می‌کند. نحوه کار این روش به صورت ماتریسی به ترتیب زیر است:

اگر هدف تعیین دما در m سطح از جو با استفاده از تابش در n باند حرارتی باشد، معادلات ماتریس به ترتیب زیر خواهد بود:

$$\begin{bmatrix} T_1 \\ T_2 \\ \vdots \\ T_m \end{bmatrix} = \begin{bmatrix} a_{11} & a_{12} & \cdots & a_{1n} \\ a_{21} & a_{22} & \cdots & a_{2n} \\ \vdots & \vdots & \ddots & \vdots \\ a_{m1} & a_{m2} & \cdots & a_{mn} \end{bmatrix} \times \begin{bmatrix} R_1 \\ R_2 \\ \vdots \\ R_n \end{bmatrix} \quad (رابطه ۱۷)$$

این رابطه به این معنا است که دما در لایه n می‌تواند با استفاده از تابش‌های دریافت شده در n باند حرارتی طبق رابطه زیر محاسبه شود.

$$T_i = a_{i1}R_1 + a_{i2}R_2 + \cdots + a_{in}R_n \quad (رابطه ۱۸)$$

اگر بتوان پروفیل‌های دما  $T$  و  $T_0$  را از داده‌های رادیوساند هم‌مکان و تابش‌های  $L$  و  $L_0$  متناظر با آن‌ها را از اندازه‌گیری‌های ماهواره‌ای جمع‌آوری نمود، ماتریس اپراتور A می‌تواند با استفاده از روش کمترین مربعات محاسبه گردد. مطمئناً این ماتریس ممکن است یک محدوده جغرافیایی به دیگری تغییر نماید. لازم به ذکر است چنین روشهای شامل هیچ محاسبه انتقال انرژی نبوده و محاسبات ساده و کارآمد یکی از مزایای چنین روشهای است.

### الگوریتم محاسبه فشار سطح زمین

در این پژوهش از معادلات جوی هیدرواستاتیک و پروفیل‌های دما و رطوبت که نحوه به دست آوردن آن در بالا ذکر شد به منظور استخراج پروفیل فشار سطح زمین استفاده گردید. معادلات هیدرواستاتیک بر پایه فرض هیدرو استاتیک است. این فرض یکی از فرض‌های اولیه در مدل‌های عددی پیش‌بینی آب‌وهوا است. در این معادلات نیروهای قائم غالب وارد برسzte هوا تنها شامل نیروی جاذبه و نیروی گرادیان قایم فشار فرض می‌گردد که در حالت تعادل است (Haji gholami et al., 2017) در ادامه این معادلات توزیع داده می‌شود. بر طبق فرض هیدرو استاتیک گرادیان قایم فشار به صورت رابطه (۱۶) است.

$$\frac{\partial P}{\partial z} = -Pg \quad (رابطه ۱۹)$$

که در این رابطه P چگالی هوا و g شتاب گرانش است. در گازهای موجود در جو به علت فشار پایین و کمتر از یک اتمسفر می‌توان آن‌ها را با دقت خوبی گازهای ایدآل فرض کرد (Bani Hashem et al., 1998). با در نظر گرفتن این فرض رابطه بین

فشار جزئی بخار آب (e) به فشار سطح زمین  $P_a$  و رطوبت

ویژه بستگی دارد که با استفاده از رابطه زیر محاسبه می‌گردد.

$$e = Q \times P_a / 0.622 \quad (رابطه ۲۷)$$

که در آن  $Q = 622 / 100$  نسبت وزن مول بخار آب در هوای خشک است.

در این پژوهش از آب قابل بارش کلی (TPW) و رطوبت ویژه ایستگاه‌های منطقه موردمطالعه، برای یافتن رابطه رگرسیونی پلی نومینال بین آن‌ها استفاده شده و با استفاده از ایستگاه‌های ارزیابی، بهترین ضرایب این رابطه برای استان سیستان و بلوچستان به دست آمده است. رابطه پلی نومینال بین فرآورده آب قابل بارش کلی (TPW) و رطوبت ویژه به صورت زیر است.

$$(رابطه ۲۸)$$

$$Q = 0.021 \times (-0.0745 \times TPW^2 + 1.753 \times TPW + 12.405) \times 0.1$$

حال با استفاده از توان‌ها و ضرایب به دست آمده و فراورده آب قابل بارش کلی می‌توان رطوبت ویژه (Q) برای تمام پیکسل‌ها محاسبه نمود. سپس با استفاده از رطوبت ویژه محاسباتی، فراورده‌های فشار سطح MODIS و رابطه ۱، فشار جزئی بخار آب باقدرت تفکیک مکانی ۱ کیلومتر در ۱ کیلومتر به روش سنجش‌از دور قابل محاسبه است.

### روش محاسبه رطوبت نسبی

در این پژوهش از داده‌های سنجنده MODIS برای محاسبه رطوبت نسبی سطح استان سیستان و بلوچستان بر اساس روابط تجربی (رابطه ۲۵ تا ۲۸) و فاکتورهای آب قابل بارش، دما نزدیک سطح زمین و فشار سطح زمین، یک روش کارآمد و عملی برای برآورد رطوبت نسبی با استفاده از داده‌های سنجش‌از دور است، استفاده گردیده است.

رطوبت نسبی از نسبت فشار جزئی بخار آب (e) در یک دما، به فشار اشباع بخار آب ( $e_s$ ) در همان دما به صورت رابطه (۲۵) به دست می‌آید. فشار جزئی بخار آب به فشار سطح و رطوبت ویژه پستگی دارد و فشار اشباع بخار آب به دمای هوا بستگی دارد (Peng et al., 2006).

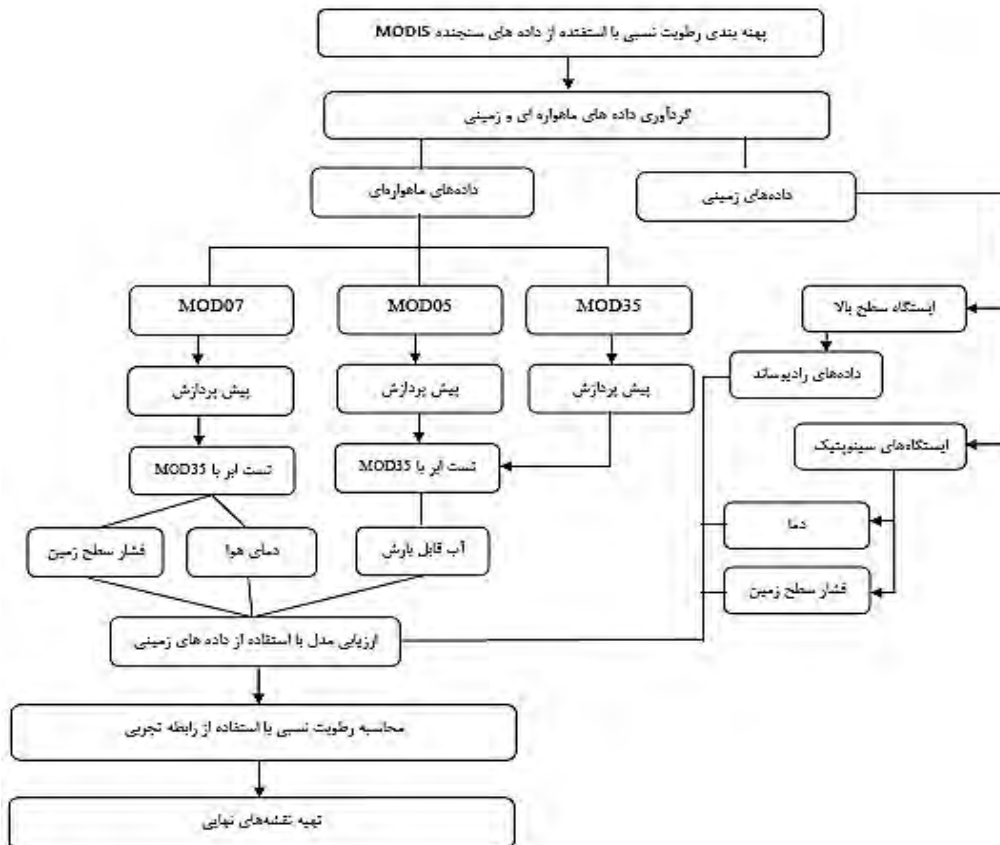
$$RH = \frac{e}{e_s} \times 100 \quad (رابطه ۲۵)$$

$e_s$  فشار بخار اشباع برحسب میلی بار است و تابعی از دمای (Mousavi Baigi and Ashraf., 2001).

$$(رابطه ۲۶)$$

$$e_s = 33.8639[(0.00738 \bar{T} + 0.8072)^8 - 0/000019 (1.8 \bar{T} + 48) + 0.0001316]$$

در این رابطه  $\bar{T}$  دمای متوسط هوا برحسب درجه سانتی گراد است.



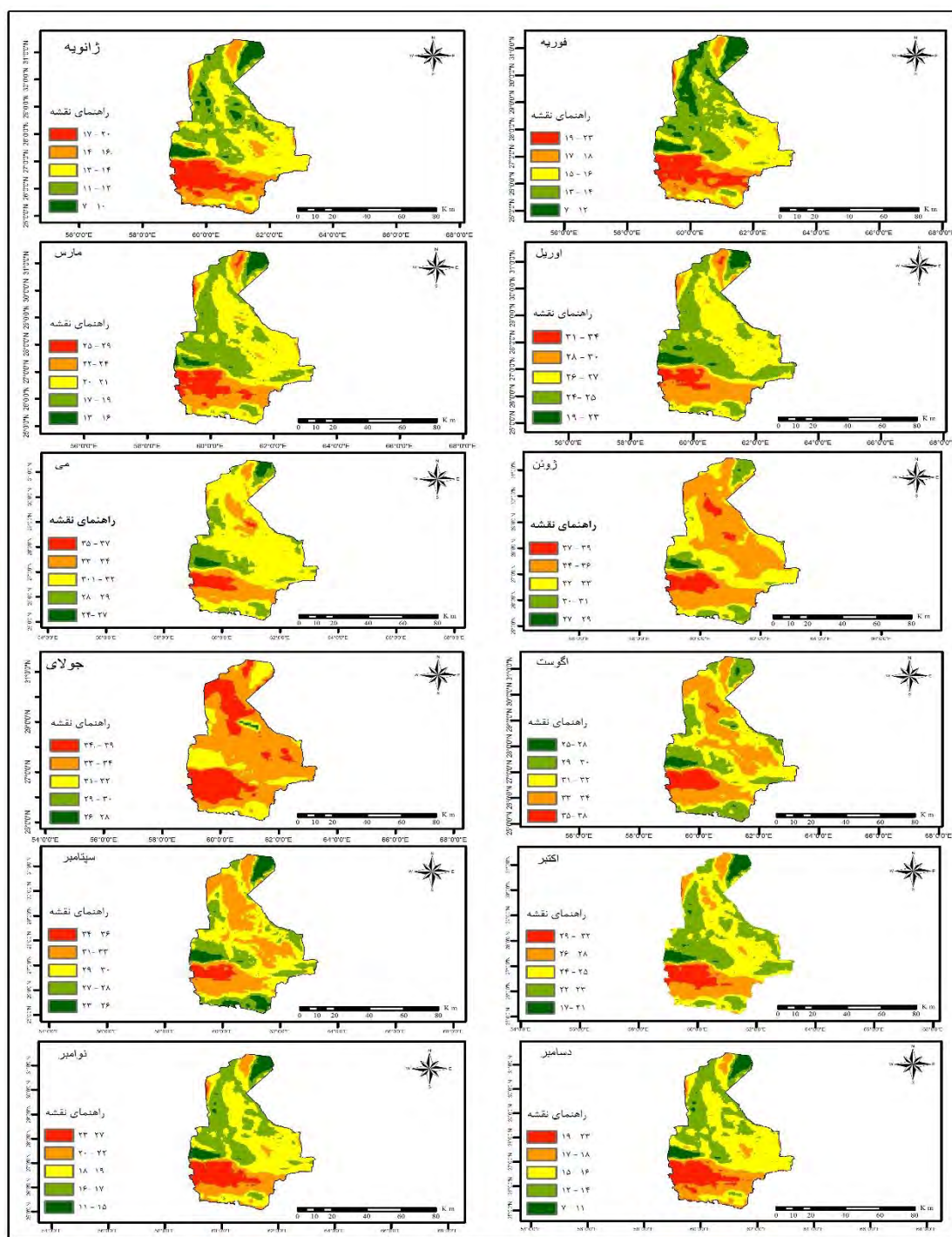
شکل ۲- فرایند پژوهش جهت پهنه‌بندی رطوبت نسبی استان سیستان و بلوچستان با استفاده از سنجنده MODIS

تصاویر از ابر، آزمون ابر با MOD35 صورت گرفت و پیکسل‌های بدون ابر با درجه اطمینان بیش از ۹۵ درصد انتخاب شد و برای هر پیکسل تصویر، میانگین پنجره ۵ در ۵ به مرکزیت پیکسل مورد بررسی، محاسبه شد. برای اطمینان از درستی برآورد دما، میانگین داده‌های دمای ایستگاه‌های هواشناسی پراکنده در سطح استان در بازده ۱۰ ساله از ۱ ژانویه ۲۰۰۹ تا ۳۱ دسامبر ۲۰۱۸ مورد ارزیابی قرار گرفت.

## نتایج و بحث

### تخمین دمای جوی

به منظور تخمین رطوبت نسبی باید ابتدا دمای هوا را برآورد کرد. به منظور پیاده‌سازی مدل (الگوریتمی که در بالا اشاره شد) ابتدا MOD07 پیش‌پردازش‌های هندسی و رادیو متری بر روی تصاویر MODIS صورت گرفت. همچنین به منظور اطمینان از عاری بودن



شکل ۳- نقشه پهنه‌بندی میانگین دمای استان سیستان بلوچستان (۱ ژانویه ۲۰۰۹ تا ۳۱ دسامبر ۲۰۱۸) با استفاده از الگوریتم سنجنده MODIS

آن با استفاده از داده‌های رادیوساند ایستگاه زاهدان در بازده ۱۰ ساله که با تصاویر ماهواره‌ای یکسان است، تغییرات مکانی و نیز مقادیر آماری بخارآب اتمسفر (TPW) برای پیکسل به پیکسل استان سیستان و بلوچستان را برای بازده ۱۰ ساله به دست آورده شد. در ارزیابی مدل، مقدار ضایعات تعیین  $R^2$  و RMSE به ترتیب ۰/۰۸۷۸ و ۰/۲۰۲ میلی‌متر محاسبه شدند. شکل (۴) نقشه پهنه‌بندی بخارآب قابل بارش محصول مادون‌قرمز نزدیک MODIS MOD05 در دوازده ماه سال را نشان می‌دهد. همان‌گونه که از شکل (۴) نشان می‌دهد مقدار TPW در سواحل بیشترین مقدار را دارد. بیشترین مقدار TPW در ماه جولای با ۴۹/۱۲ میلی‌متر در کنار سواحل مکران و کمترین آن در ماه ژانویه با ۸/۵۸ میلی-متر در منطقه کوهستانی قرار دارد. با توجه به نقشه‌های به دست آمده مقدار TPW در طول سال از نواحی ساحلی به سمت شمال و در درون فلات کاهش می‌یابد که این امر بیانگر تأثیر ورود بخارآب از سمت جنوب یعنی دریای عمان و اقیانوس هند به این استان است. همچنین مقدار TPW در فصل زمستان در عرض جغرافیایی ۲۵ تا ۲۷ درجه از غرب به شرق کاهش پیدا می‌کند که علت آن را می‌توان کاهش اثر جریان‌های غربی و سیستم‌های آن به طرف شرق استان دانست. از عرض ۲۷ درجه به بالا در این استان به علت کوهستانی بود و شرایط باد پناهی که کوههای زاگرس به وجود می‌آورند در طول تابستان آن‌هم به علت گرم شدن هوا و افزایش گنجایش بخارآب مقدار TPW به ۱۱ میلی‌متر می‌رسد. درنهایت می‌توان این‌گونه بیان کرد توزیع فضایی آب قابل بارش در استان در فصل گرم حساسیت بالاتری به دوری و نزدیکی به پهنه‌های آبی دارد و توزیع آب قابل بارش همگون‌تر است ولی در فصل سرد به علت ورود سیستم‌های بادهای غربی به استان این همگنی به هم خورده و توزیع آن از غرب به شرق کاهش پیدا می‌کند.

#### فشار سطح زمین

در این پژوهش نتایج به دست آمده (فشار سطح زمین) از مدل هیدرو استاتیک همخوانی خوبی با داده‌های فشار ثبت شده در ایستگاه‌های زمینی دارد که نشانگر کارآیی این مدل در استخراج فشار سطح زمین از پروفیل‌های دما و رطوبت ماهواره‌ای در شرایط جوی مختلف دارد. فشار سطحی استخراج شده با استفاده از پروفایلهای دما و رطوبت الگوریتم MODIS به ترتیب دارای RMSE متوسط ۱/۸ و  $R^2$  متوسط ۰/۹ هکتوپاسکال است. شکل (۵) نقشه پهنه‌بندی فشار سطح زمین با الگوریتم MOD07 MODIS و جوی هیدرو استاتیک را برای دوازده ماه سال نمایش

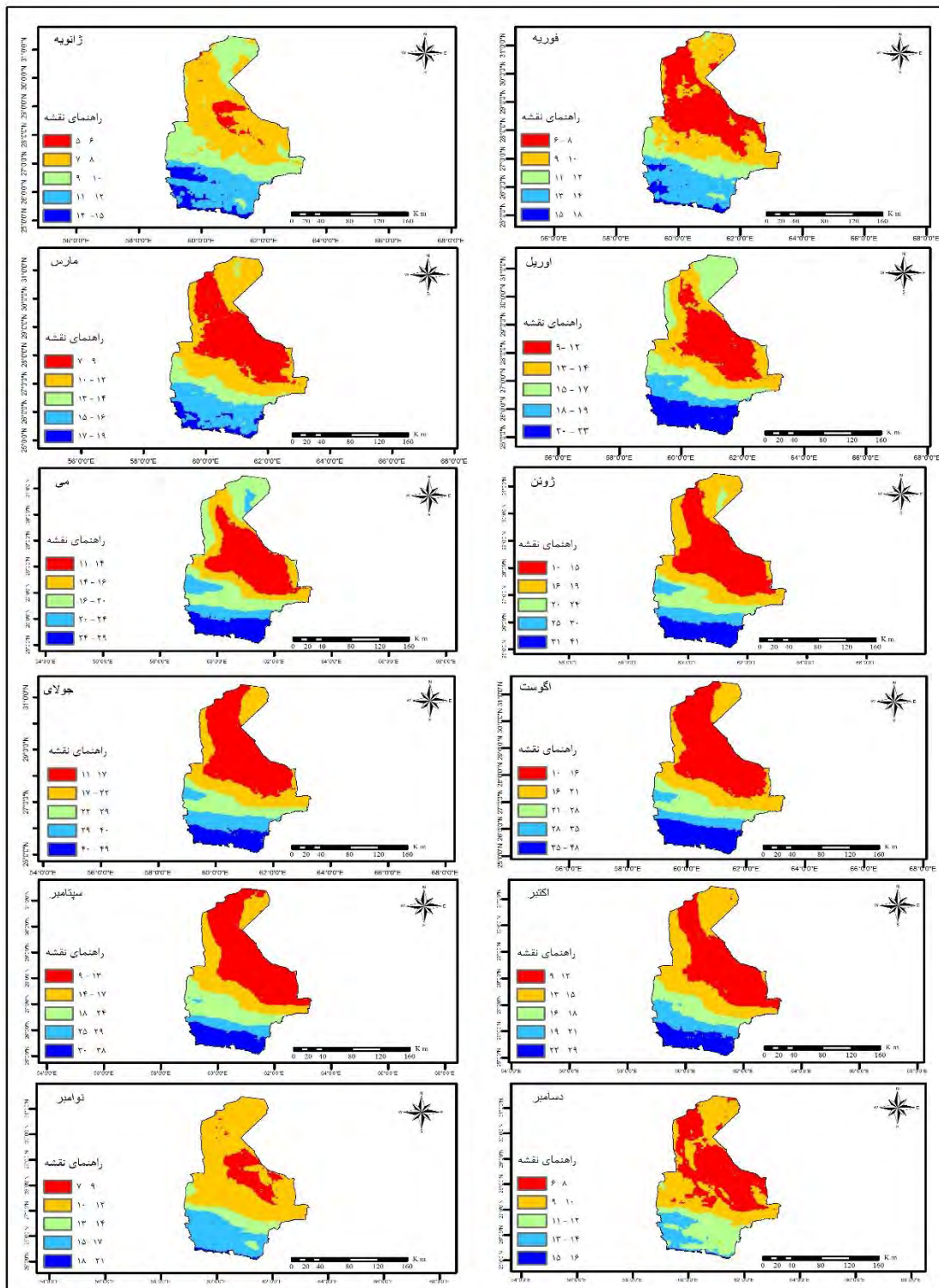
نتایج ارزیابی، ضریب تعیین  $R^2$  برابر با ۰/۹۹۲ و RMSE را برابر با ۳/۱۷۲ نشان می‌دهد. درنهایت بعد از اطمینان از نتایج برآورد دما نقشه‌های پهنه‌بندی دما برای کل استان سیستان و بلوچستان تهیه گردید. با توجه به نقشه‌های تهیه شده (شکل ۳) تفاوت مکانی دما در استان سیستان و بلوچستان بسیار چشمگیر است. دمای حداقل ثبت شده توسط سنجنده MODIS نشان می-دهد که از شمال به جنوب از حداقل دما کاسته می‌شود و در فصل سرد سال (ژانویه، فوریه و مارس) ریزش هوای سرد سیبری به سوی شمال شرق کشور تا نواحی شرقی استان را تحت تأثیر قرار می‌دهد. یخندازی در محدوده استان به درت رخ می‌دهد ولی به دلیل کوهستانی بودن قسمتی از استان و ریزش هوای سرد سیبری، احتمال بروز آن در برخی از روزها وجود دارد. در فصل اولين مناطقى هستند که کم کم تحت تأثیر پرفشار حرارتی قرار می‌گيرد، بهطوری که در ماه آخر فصل بهار (ژوئن) اين استان بهطور كامل تحت سلط پرفشار جنوب حاره‌ای قرار دارد اما نكته قابل توجه اين است که پرفشار جنوب حاره‌ای حالت اريب است که اين امر باعث تأثیر جريان مانسون در جنوب استان در فصل تابستان می‌شود. تأثیر مانسون از شرق به غرب و از جنوب به سمت شمال کاهش می‌يابد. در فصل گرما مناطق ساحلی و نواحی پيرامونی آن تا فاصله ۱۰۰ کيلومتری از خط ساحل تحت تأثیر رطوبت دريا قرار دارد و با تأثیر مانسون در جنوب شرق استان باعث کاهش دما سواحل و جنوب شرقی استان نسبت به عرض-های بالاتر می‌شود. با پيشروي به سمت شمال استان تغييرات دما هم در فصل گرم و هم سرد مشاهده می‌شود. علت اين پدیده را می‌توان اين‌گونه بيان داشت که حرکت به سمت شمال استان از تأثیر دريا و از شدت تأثیر مانسون کاسته می‌شود و روند رژيم حرارتی مشابه دشت و کوهستان فلات مرکزی ايران است. از دیگر عواملی که پaramتر دما را تحت تأثیر قرار می‌دهد عامل ارتفاعات است. بهطوری که قسمت‌های شرقی استان (کوههای تفتان) و مرکز استان (بزمان و بشاغرد) از دمای کمتری نسبت به غرب استان که ارتفاعات کمتری دارد برخوردار است.

#### محاسبه آب قابل بارش

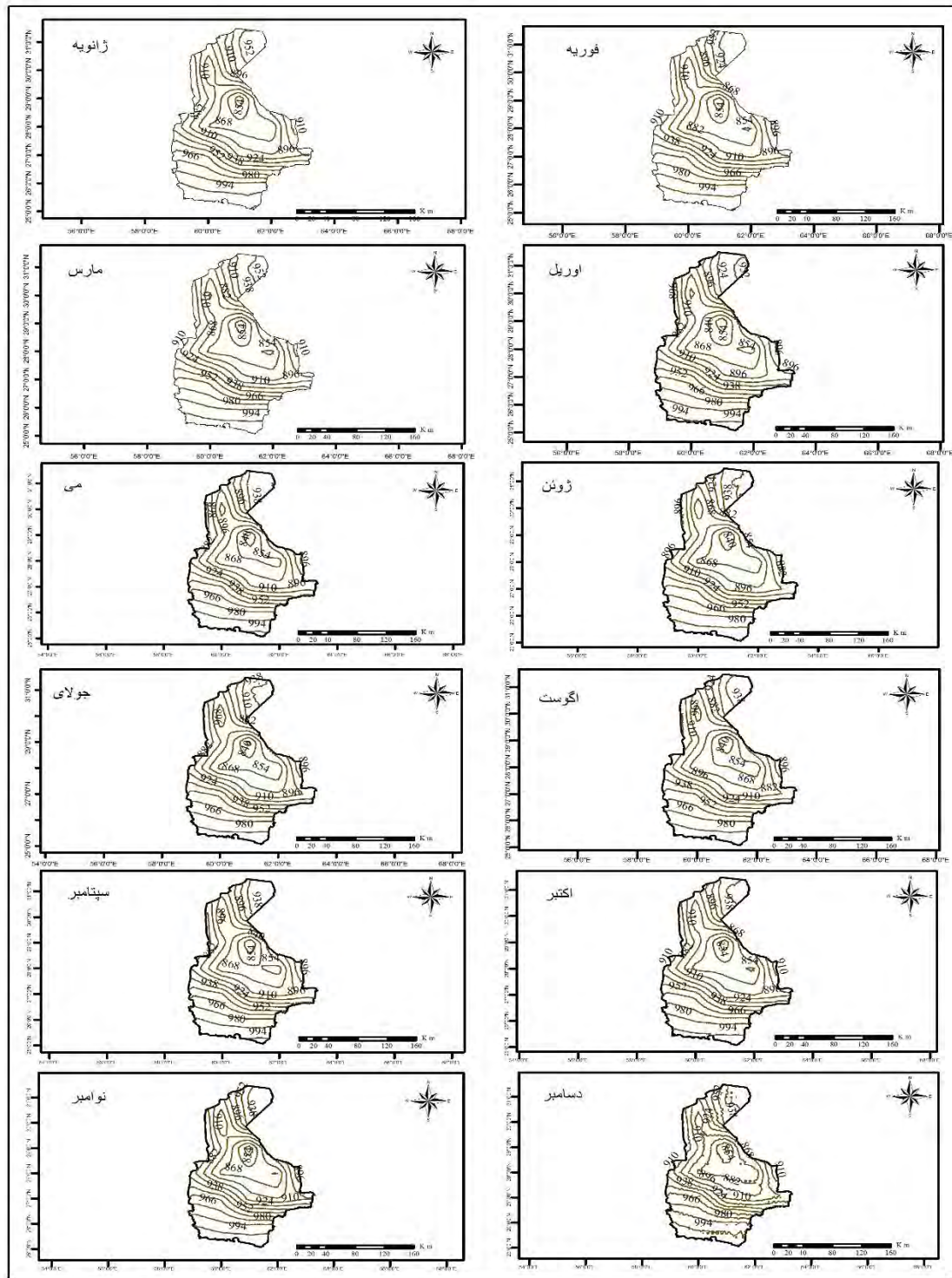
محاسبه دقیق آب قابل بارش کلی (TPW) مستلزم آگاهی دقیق از حجم بخارآب در جوی است (Alizadeh., 2015) در این پژوهش جهت برآورد میزان بخار اتمسفر با استفاده از تکنیک‌های سنجش از دور از الگوریتم مادون‌قرمز نزدیک حرارتی (که قبل توپیخات آن داده شده است) استفاده شد. سپس باعتبار سنگی

به طور میانگین (۸۴۵ هکتوباسکال) و سواحل دریا مکران نواحی پر فشار هستند تا جایی که ما در سواحل فشار ۹۹۰ هکتوباسال را نیز داریم.

می‌دهد. از نقشه‌های به دست آمده در این پخش پژوهش می‌توان نتیجه گرفت که فشار سطح زمین رابطه بسیار نزدیکی با ارتفاع و دما دارند. همان‌طور که نقشه‌ها بیانگر آن هستند در طول سال ارتفاعات استان (کوه تفتان) در نزدیکی زاهدان مراکز کم‌فشار



شکل ۴- نقشه پهنه‌بندی آب قابل بارش در استان سیستان و بلوچستان (۱ زانویه ۲۰۰۹ تا ۳۱ دسامبر ۲۰۱۸) با استفاده از الگوریتم سنجنده MODIS



شکل ۵- نقشه فشار سطح زمین در استان سیستان و بلوچستان (۱ ژانویه ۲۰۰۹ تا ۳۱ دسامبر ۲۰۱۸) با استفاده از الگوریتم سنجنده MODIS

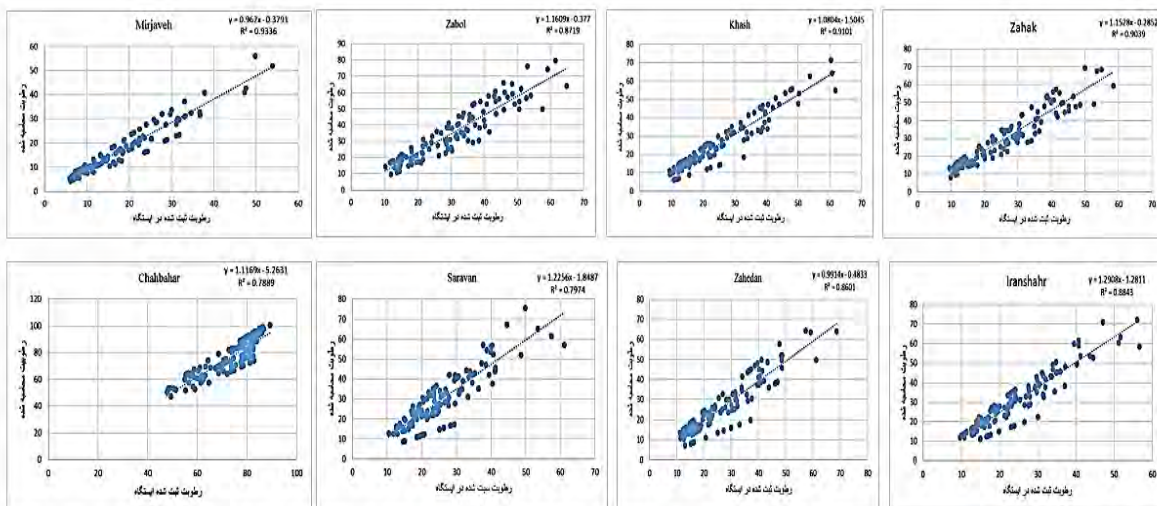
سنجش از دور و ثبت شده توسط ایستگاه های زمینی تطابق خوبی باهم دارند، بنابراین می توان با داده های به دست آمده از سنجش از دور به پهنه بندی استان سیستان و بلوچستان از نظر رطوبت نسبی پرداخت. همان طور که (نقشه شماره ۷) مشاهده می شود، توزیع مکانی رطوبت نسبی در نیمه جنوبی استان در طول سال بیشتر از شمال است که علت آن ورود رطوبت از دریای

#### محاسبه رطوبت نسبی

در این پژوهش به منظور ارزیابی مقادیر رطوبت نسبی حاصل از روابط بالا در برابر مقادیر استخراج شده از داده های هشت ایستگاه سینوپتیک (ایرانشهر، زابل، زاهدان، سراوان، چابهار، خاش، میر جاوه، زهک) استفاده شده است. همان طور که در شکل (۶) مشاهده می شود مقادیر رطوبت نسبی به دست آمده از

یک منطقه بسیار خشک و بیشترین رطوبت نسبی با ۸۴ درصد در منطقه چابهار که معروف یک منطقه ساحلی است، ثبت شده است.

عمان و اقیانوس هند از سمت جنوب استان است. کمترین رطوبت نسبی با ۵ درصد در ماه جولای در منطقه زاهدان و زابل که معروف



شکل ۶- نتایج ارزیابی مقادیر رطوبت نسبی در هشت ایستگاه سینوپتیک در برابر رطوبت نسبی محاسبه شده با استفاده از سنجنده MODIS

مناطق زیاد بوده درنتیجه دما این مناطق افزایش می‌یابد که در نقشه دما نزدیک سطح (نقشه شماره ۳) به خوبی قابل مشاهده است؛ از آنجایی که رطوبت نسبی با دما رابطه معکوسی دارد با افزایش دما رطوبت نسبی کاهش می‌یابد که کمترین رطوبت نسبی را می‌توان در این مناطق (خاش، میر جاوه، سراوان، زاهدان و زابل) مشاهده کرد. با گذر فصل گرم به سوی فصل سرد (ژانویه، فوریه و مارس) با پیشروع بادهای غربی سیستم پرفشار جنوب حاره‌ای آزور از عرض‌های ۴۰ درجه شمالی به سوی عرض‌های پایین جغرافیایی نفوذ نموده و بر روی بحرین و بالای خلیج فارس قرار می‌گیرد. با خارج شدن سیستم پرفشار از استان سیستم‌های که از جنوب غرب و یا غرب وارد می‌شوند پس از عبور از مرکز عربستان سعودی و با گذر از روی خلیج فارس و جذب رطوبت به سوی بندرعباس، جاسک، کنارک و چابهار منتقل شده و این مناطق را تحت تأثیر قرار می‌دهد. همان‌طور که نقشه (شکل ۷) برای ماه‌های (ژانویه، فوریه و مارس) نشان می‌دهد بیشتر رطوبت نسبی ثبت شده در قسمت جنوب غرب استان است که این نشان‌دهنده تأثیر بادهای غربی و کاهش قدرت سیستم مانسون در فصل زمستان است.

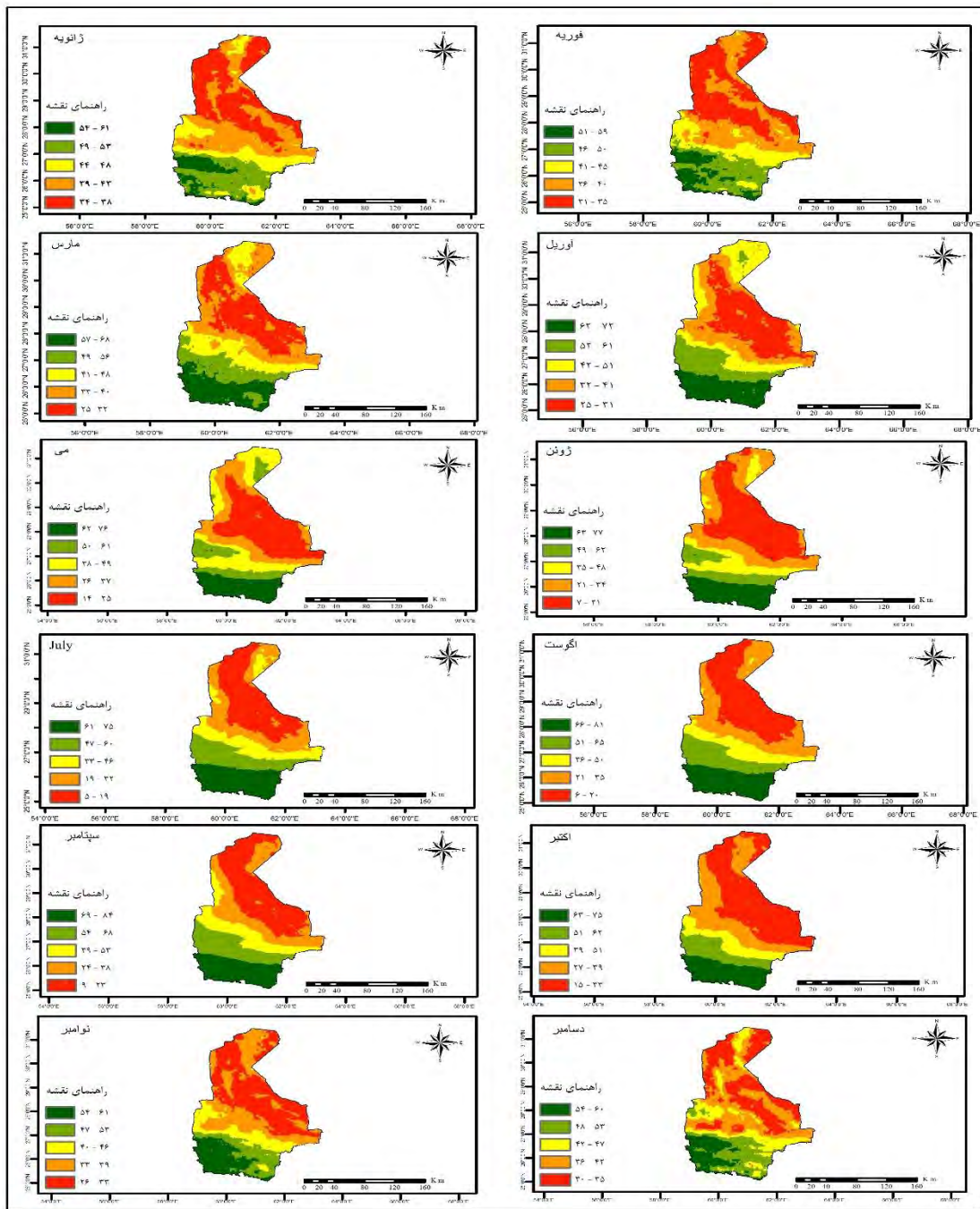
در عرض‌های بالای استان (بالای ۲۷ درجه) به علت قرارگیری این قسمت در حالت باد پناهی از رطوبت بالای برخوردار نیست ولی شرایط نسبت به فصل گرم بهتر است (حداقل رطوبت نسبی ۳۰ درصد) که این به علت کاهش درجه دما و کاهش گنجایش هوا و نزدیک شدن هوا به نقطه شبنم است. در فصل پاییز نحوه پراکندگی رطوبت نسبی شرایط گذر از فصل گرم

توزیع فصلی رطوبت نسبی در استان بیانگر آن است که در فصل گرم (بهار و تابستان) به علت گرم بودن سطح زمین (نقشه شماره ۲) در داخل استان مراکز کم‌فشاری تشکیل می‌شود که این امر باعث ایجاد جریان‌های جنوبی و جنوب شرقی می‌شود که عامل انتقال هوای مرطوب به سوی سواحل استان می‌شود که از منطقه چابهار و کنارک تا نیک شهر را تحت تأثیر قرار می‌دهد همچنین در این فصل همان‌گونه که در بخش آب قابل بارش کلی توزیع داده شد (نقشه شماره ۳) به علت مورب بودن پرفشار جنوب حاره آزور استان در تابستان تحت تأثیر جبهه مانسون قرار گیرید که سبب افزایش رطوبت در جنوب استان می‌گردد که منشأ آن توده‌هواهای حاره‌ای و جنوب حاره‌ای است از طرف دیگر جریان پادساعت‌گرد در این سامانه رطوبت دریایی عمان را به درون خشکی می‌راند و باعث افزایش رطوبت و شرایط شرجی در کرانه‌های جنوبی استان می‌گردد. با افزایش عرض جغرافیایی از رطوبت نسبی کاسته می‌شود که این امر خود به دو دلیل است.

۱- با حرکت به سمت شمال این مناطق از رطوبت آبهای دریای عمان و اقیانوس هند محروم می‌شوند و این دو منبع عظیم رطوبت از عرض ۲۷ درجه به بالا تأثیر چندانی ندارند و در داخل استان نیز منبع رطوبتی (رودخانه و دریاچه) جهت تأمین رطوبت وجود ندارد و از طرف دیگر با حاکم بودن پرفشار جنوب حاره‌ای آزور در فصل گرم هیچ سیستم نمی‌تواند رطوبت را وارد مناطق شمالی استان کند. ۲- مناطق کوهستانی استان: وجود کوههای بلند در ارتفاعات میانی (بزمان و بشاغرد) و شرقی (تفتان) که به آسمانی سفید و کاهش ضخامت جو انرژی دریافتی این

نها سواحل دریا رطوبت نسبی بالای ۵۰ درصد دارد و بیشتر رطوبت نسبی در جنوب غرب استان و جای که سیستم‌های بادهای غربی می‌توانند در آنجا نفوذ کرده و رطوبت خلیج فارس را به آنجا انتقال دهنده رطوبت بالای مشاهده می‌شود.

به فصل سرد است به صورتی که در ماه اکتبر شرایط مانند فصل گرم است و با دور شدن از سواحل از رطوبت نسبی کاسته می‌شود. در ماههای نوامبر و دسامبر با کاهش قدرت سیستم مانسون رطوبت نسبی جنوب شرق استان کاهش پیدا می‌کند به طوری که



شکل ۷- نقشه میانگین رطوبت نسبی در استان سیستان و بلوچستان (۱ ژانویه ۲۰۰۹ تا ۳۱ دسامبر ۲۰۱۸) با استفاده از روابط تحریری

زمین توسط (Haji gholami., 2017) در منطقه جنوب شرق ایران مورد بررسی قرار گرفت. نتایج این مطالعه بیانگر آن است که با توجه به زمان گذر ماهواره (۹ تا ۱۱ صبح) از روی استان هیچ

### نتیجه‌گیری

در این مطالعه الگوریتم‌های توسعه داده شده برآورد بخارآب قبل بارش و دمای هوای توسط (Rahimzadegan., 2013) و فشار سطح

۲/۷۰۲ هکتوپاسکال محاسبه شدند. در نهایت با اختیار داشتن داده‌های این فاکتورها می‌توان مقدار رطوبت نسبی MODIS را در محدوده استان با استفاده از تصاویر سنجنده با استفاده از رابطه تجربی (۲۵) تا (۲۸) که به آن اشاره شد به دست آورد. نتایج نشان می‌دهد در تمام طول سال سواحل دریا رطوبت نسبی بالای ۵۵ درصد را دارند و با افزایش دما مقدار رطوبت نسبی در مناطق مرکزی استان بهشت کاهش پیدا می‌کند و حتی در ماه جولای و آگوست به زیر ۱۰ درصد نیز می‌رسد. Peng et al. (2006) مقایسه نتایج این بررسی با سایر پژوهش‌ها در شبه‌جزیره مالزی که هوای بسیار مرطوب و Rahimzadegan and Mobasher., (2013) R<sup>2</sup> که هوای نیمه‌خشک دارد نشان می‌دهد با توجه به مقدار خطأ RMSE (طبق شکل ۶) با توجه به گستردگی و شرایط ویژه اقلیمی استان (خشک تا بسیار مرطوب) لایه اطلاعاتی تولید شده بسیار مناسب است.

"هیچ‌گونه تعارض منافع بین نویسنده‌گان وجود ندارد"

## REFERENCES

- Alijani, B. (2008) *Iran's Weather* (8th Ed). Tehran. Payam Noor University. (In Farsi)
- Alizadeh, A. (2015) *Principles of Applied Hydrology* (40th Ed). Imam Reza University Press. (In Farsi)
- Bayat A., Mashhadizadeh Maleki S. (2019) Analysis of temporal and spatial correlation between perceptible water vapor retrievals from AIRS satellite sensor and 29 synoptic station measurements in Iran. *Researches in Geographical Sciences*, 19 (53), 19-32. (In Farsi).
- Haji gholami, H., Mobasher M R., Rahimzadegan M. (2017) Producing atmospheric pressure profile based on Hydrostatic hypothesis and using MODIS termal images. *Journal of researches in Geographical Sciences*, 4 (4), 21-32. (In Farsi)
- Bani Hashem, T., Hajbi, B., Behroozian, A.R. (1998) *General Meteorology*, Universit Publishing Center. (In Farsi)
- Hayden, C. M. (1988) GOES-VAS simultaneous temperature-moisture retrieval algorithm. Review of. *Journal of Applied Meteorology*, 27, 705-733.
- Ji, D., Shi, J. (2014) Water vapor retrieval over cloud cover area on land using AMSR-E and MODIS. *IEEE Journal of Selected Topics in Applied Earth Observations and Remote Sensing*, 7(7), 3105-3116.
- Kaufman, Y. J., Gao, B. C. (1992) Remote sensing of water vapor in the near IR from EOS/MODIS, *IEEE Transaction on Geosciences and Remote Sensing*, 30, 871-884.
- King, M. D., Kaufman, Y. J., Menzel, W. P., Tanre, D. (1992) Remote sensing of cloud, aerosol, and water vapor properties from the Moderate Resolution Imaging Spectrometer (MODIS). *Review of IEEE Transactions on Geoscience and Remote Sensing*, 30 (1), 2-27.
- Li, J., (1994) Temperature and water vapor weighting functions from radiative transfer equation with surface emissivity and solar reflectivity. Review of. *Advances in Atmospheric Sciences*, 11 (4), 421-426.
- Maghrabi, A., Al Dajani, H. (2013) Estimation of precipitable water vapour using vapour pressure and air temperature in an arid region in central Saudi Arabia. *Journal of the Association of Arab Universities for Basic and Applied Sciences*, 14(1), 1-8.
- Mather, P.M. (1999) *Computer Processing of Remotely Sensed Images*. 2nd Edition, John Wiley & Sons
- Merrikhpour, M.h., Rahimzadegan, M. (2019) Evaluation and Comparison of the Of the MODIS and AMSR2 Total Precipitable Water Vapor Algorithm Over Lands in the Western Part of IRAN. *Journal of Iran-Water Resources Research*, 14 (5), 327.-338. (In Farsi)
- Mousavi Baigi, M., Ashraf, B. (2011) *Weateher & Climate in Agriculture*, Ferdowsi University of Mashhad Pres. (In Farsi)
- NASA Website. (2016). Available at: <https://ladsweb.nascom.nasa.gov/>.
- NASA Website. (2019). Available at: <http://modis.gsfc.nasa.gov/about>.
- Nilsson, G., Grdinarsky, L. (2006) Water Vapor Tomography Using GPS Phase Observations: Simulation Results, *Ieee Transactions On Geoscimnce And Remote Sensing*, 44, 2927-2941.
- Peng, G., Li, J., Chen, Y., Norizan, A. P., & Tay, L (2006) High-resolution surface relative humidity computation using MODIS image in Peninsular Malaysia. *Chinese Geographical Science*, 16, 96-102.
- Zamanی دما در مناطق مختلف استان زیر ۱۳ درجه سانتی‌گراد ثبت‌نشده و دمای هوا در برخی از روزهای جولای و آگوست بالای ۴۰ درجه سانتی‌گراد توسط سنجنده MODIS ثبت‌شده است و نتایج ارزیابی توسط ضریب تعیین  $R^2$  و RMSE به ترتیب ۰/۹۹۲ و ۰/۱۷۲ است. مقدار آب قابل بارش TPW ثبت‌شده توسط سنجنده MODIS بیانگر آن است که این پارامتر با دوری و نزدیکی و توده‌های هوای ورودی به استان همبستگی بالای دارد بیشترین مقدار TPW در ماه جولای با ۴۹/۱۲ میلی‌متر در کنار سواحل مکران و کمترین آن در ماه ژانویه با ۸/۵۸ میلی‌متر در شرق و شمال استان در مناطق کوهستانی قرار دارد. در ارزیابی مدل، مقدار ضرایب تعیین  $R^2$  و ۰/۸۷۲ RMSE ۲/۷۰۲ میلی‌متر محاسبه شدند. فشار سطحی استان با توجه به نقشه‌های فشار سطح زمین (شکل ۵) با عامل ارتفاع همبستگی بالای دارد و با افزایش ارتفاع از فشار سطح کاسته می‌شود که کمترین فشار ثبت‌شده ۸۴۵ هکتوپاسکال در ماه ژوئن در ارتفاعات تفتان توسط سنجنده MODIS ثبت‌شده و مقدار ضرایب تعیین  $R^2$  و ۰/۸۷۲

260-264.

Pour Bagher, S. M., Askari, Q., Momenzadeh, H., Manzl, P (2009) Radio Rainwater Calculation Using MODIS Satellite Data in Joe Gorganrood, *Journal of Water Science Research*,(1) 55-49. (In Farsi)

Rahimzadegan, M. (2013) Improvement of algorithms for extraction of local atmospheric temperature and moisture profiles using MODIS images, Ph. D. dissertation, K.N. Toosi University of Technology. (In Farsi)

Rahimzadegan, M., Mobasher. M.R. (2013) Preparation of atmospheric temperature and humidity isopleths maps using thermal bands of MODIS satellite images. *Journal of the Earth and*

*Space Physics*, 39 (3), 159-176. (In Farsi)

Seemann, S. W., Borbas, E. E., Li, J., Menzel, W. P., Gumley, L. E. (2006) *MODIS Atmospheric Profile Retrieval Algorithm Theoretical Basis Document* (version 6). University of Wisconsin-Madison.

Smith, W. L., Woolf, H. M., Revercomb, H. E. (1991) Linear simultaneous solution for temperature and absorbing constituent profiles from radiance spectra. *Review of Applied optics*. 30 (9), 1117-1123.

Zhou, F.-C. (2016) An Algorithm for Retrieving Precipitable Water Vapor over Land Based on Passive Microwave Satellite Data. *Advances in Meteorology*.